

Санкт-Петербургский политехнический университет
Петра Великого
Институт прикладной математики и механики
Кафедра «Прикладная математика»

Отчёт
по лабораторной работе №2
по дисциплине
«Интервальный анализ»

Выполнил студент:
Величко Арсений Юрьевич

Проверил:
к.ф.-м.н., доцент
Баженов Александр Николаевич

Санкт-Петербург
2022 г.

Содержание

1	Постановка задачи	3
1.1	Линейный случай	3
1.2	Нелинейный случай	3
2	Теория	3
2.1	Внешнее множество решений	3
2.2	Метод Кравчика	4
3	Реализация	4
4	Результаты	5
4.1	Линейный случай	5
4.1.1	Спектральный радиус	5
4.1.2	Начальное приближение	5
4.1.3	Внешнее множество решений	5
4.1.4	Результаты работы метода	6
4.2	Нелинейный случай	7
4.2.1	Спектральный радиус	7
4.2.2	Начальное приближение	7
4.2.3	Результаты работы метода	8
5	Обсуждение	9

1 Постановка задачи

1.1 Линейный случай

Оценить методом Кравчика внешнее множество решений следующей ИСЛАУ

$$\begin{cases} 3x_1 + 2x_2 = [30, 31] \\ x_1 - [0.8, 1]x_2 = 0 \end{cases}$$

Также необходимо:

- определить спектральный радиус матрицы
- провести оценку начального бруса решения

Провести вычисления и привести иллюстрации:

- положения брусков при итерациях
- рабочих брусков
- расстояния от центров брусков при итерациях до конечной точки алгоритма

1.2 Нелинейный случай

Оценить методом Кравчика внешнее множество решений следующей ИСЛАУ

$$\begin{cases} 3x_1 + 2x_2 = [30, 31] \\ \frac{x_1}{x_2} = [0.8, 1] \end{cases}$$

Провести вычисления и привести иллюстрации:

- положения брусков при итерациях
- графики радиусов рабочих брусков
- расстояния от центров брусков при итерациях до конечной точки алгоритма

Сравнить результаты с линейным случаем.

2 Теория

2.1 Внешнее множество решений

Внешним множеством решений называется объединенное множество решений, образованное решениями всех точечных систем $F(a, x) = b$

$$\Xi_{\text{uni}}(\mathbf{F}, \mathbf{a}, \mathbf{b}) = \{x \in \mathbb{R}^n \mid (\exists a \in \mathbf{a})(\exists b \in \mathbf{b})(F(a, x) = b)\} \quad (1)$$

2.2 Метод Кравчика

Метод Кравчика предназначен для уточнения двухсторонних границ решений систем уравнений, в общем случае нелинейных, заданных на некотором брус $\mathbf{X} \subset \mathbb{IR}$, вида

$$F(x) = 0, \quad \text{где } F(x) = \{F_1(x), \dots, F_n(x)\}^T, \quad x = (x_1, \dots, x_n) \quad (2)$$

Также данный метод может быть использован для того, чтобы понять, что решений нет.

Отображение $\mathcal{K} : \mathbb{ID} \times \mathbb{R} \rightarrow \mathbb{IR}^n$, задаваемое выражением

$$\mathcal{K}(\mathbf{X}, \bar{x}) := \bar{x} - \Lambda * F(\bar{x}) - (I - \Lambda * \mathbf{L} * (\mathbf{X} - \bar{x})) \quad (3)$$

называется оператором Кравчика на \mathbb{ID} относительно точки \bar{x} .

Итерационная схема данного метода выглядит следующим образом

$$\mathbf{X}^{k+1} \leftarrow \mathbf{X}^k \cap \mathcal{K}(\mathbf{X}^k, \bar{x}^k), \quad k = 0, 1, 2, \dots, \quad x^k \in \mathbf{X}^k \quad (4)$$

Сходимость данного метода гарантирована при выполнении условия

$$\rho(I - \Lambda * \mathbf{L}) < 1 - \text{спектральный радиус меньше единицы} \quad (5)$$

Частным случаем данного метода является линейный метод Кравчика, итерационная схема которого выглядит следующим образом:

$$\mathbf{x}^{k+1} = (\Lambda * \mathbf{b} + (I - \Lambda * \mathbf{A}) * \mathbf{x}^k) \cap \mathbf{x}^k \quad (6)$$

\mathbf{A} в данном случае является интервальной матрицей коэффициентов соответствующей ИСЛАУ, а \mathbf{b} - вектором свободных членов.

В случае линейности системы и выполнения условия $\eta = \|\Lambda * \mathbf{A}\|_\infty \leq 1$ в качестве начального приближения можно взять брус

$$\mathbf{x}^0 = ([-\theta, \theta], \dots, [-\theta, \theta])^T, \quad \text{где } \theta = \frac{\|\Lambda \mathbf{b}\|_\infty}{1 - \eta} \quad (7)$$

3 Реализация

Лабораторная работа выполнена при помощи пакета Matlab с использованием библиотек IntLab и IntLinInc2D.

Ссылка на репозиторий с исходный кодом:

<https://github.com/ArsenyVelichko/IntervalAnalysis>

4 Результаты

4.1 Линейный случай

В качестве матрицы предобуславливания, как это принято, возьмём $\Lambda = (\text{mid}(\mathbf{A}))^{-1}$.

4.1.1 Спектральный радиус

Проверим условие сходимости метода

$$|I - \Lambda * A| \approx \begin{pmatrix} 0 & 0.0426 \\ 0 & 0.0638 \end{pmatrix} \quad (8)$$

$$\rho(|I - \Lambda * A|) \approx 0.0638 \quad (9)$$

4.1.2 Начальное приближение

Так как условие $\eta = \|I - \Lambda * \mathbf{A}\|_{\infty} = 0.0638 \leq 1$ выполняется, мы можем явно вычислить начальное приближение.

$$\theta = \frac{\|\Lambda \mathbf{b}\|_{\infty}}{1 - \eta} = 7.0455 \Rightarrow \mathbf{x}^0 = ([3.5227, 10.5682], [3.5227, 10.5682])^T \quad (10)$$

4.1.3 Внешнее множество решений

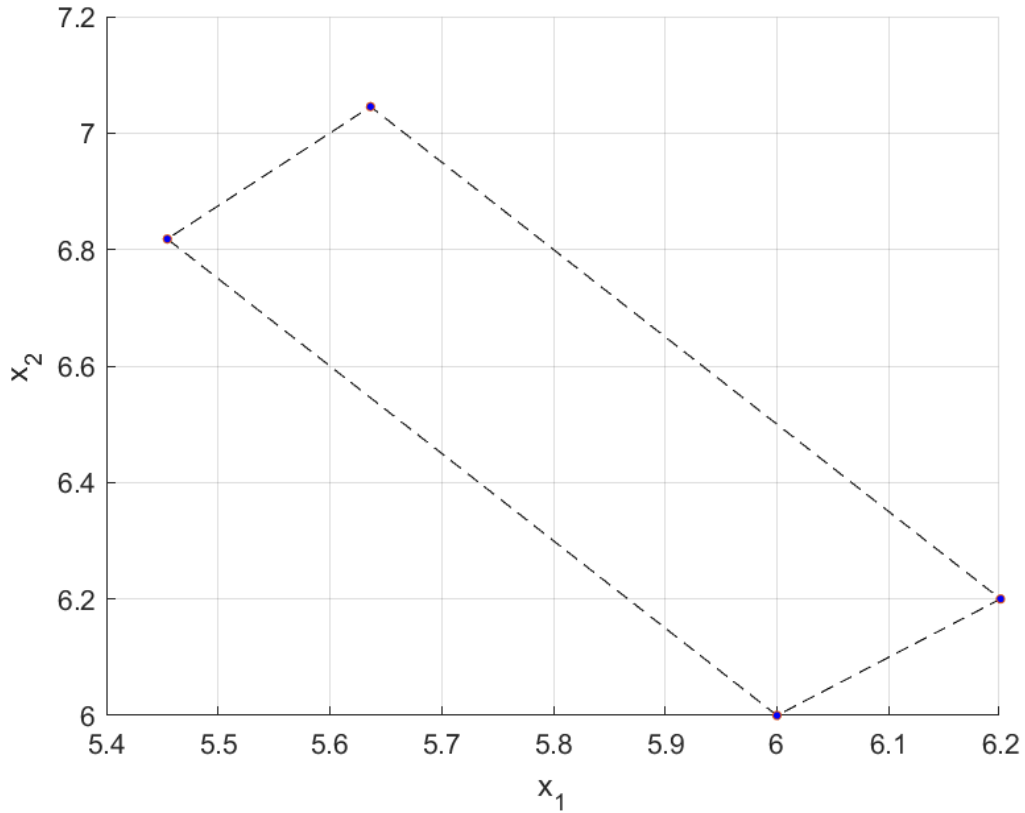


Рис. 1: Внешнее множество решений (1)

4.1.4 Результаты работы метода

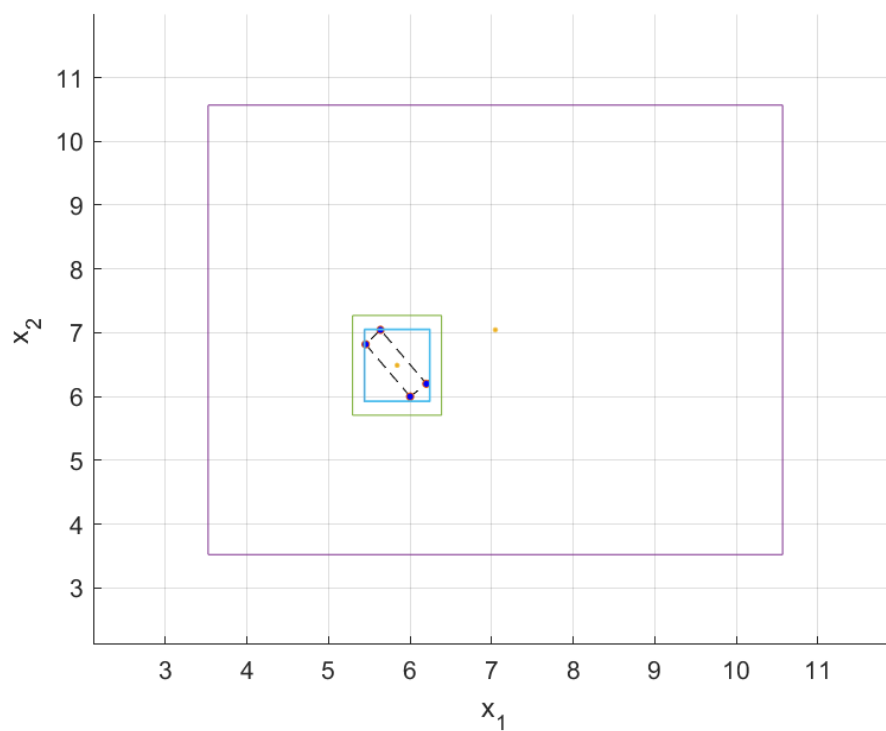


Рис. 2: Положения брусков в линейном методе Кравчика

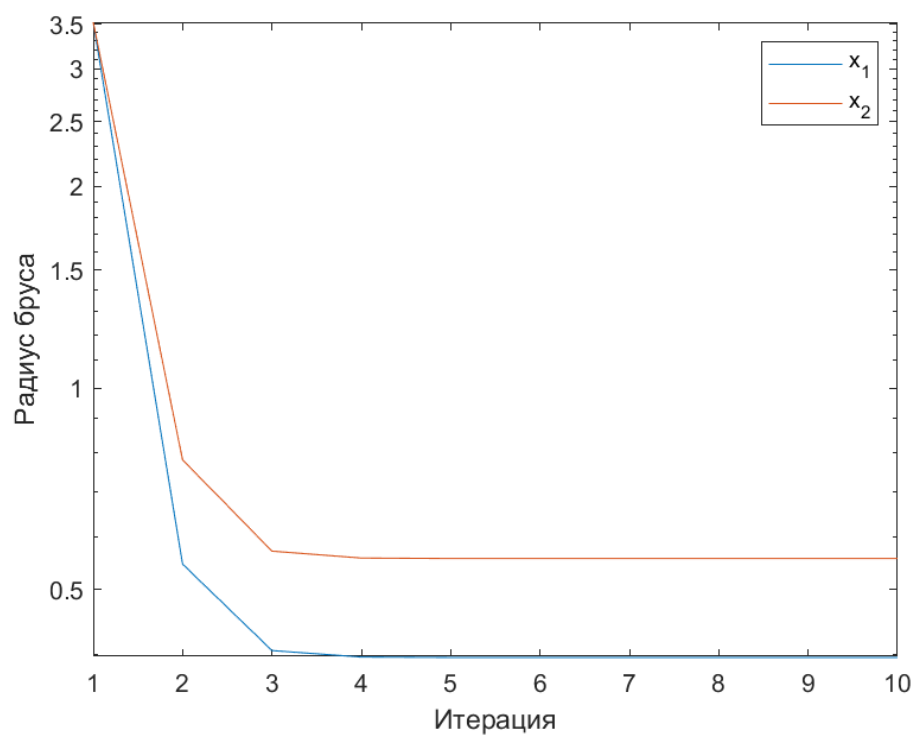


Рис. 3: Радиусы брусков в линейном методе Кравчика

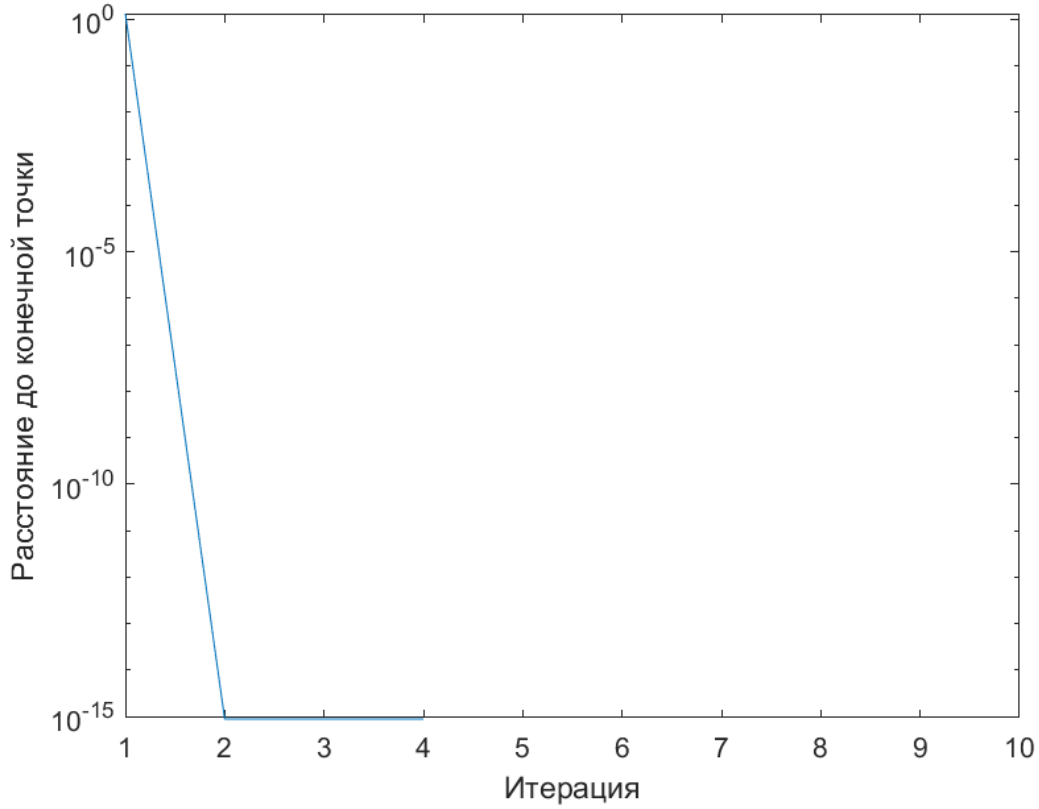


Рис. 4: Расстояние до конечного положения в линейном методе Кравчика

4.2 Нелинейный случай

Положим интервальную матрицу Липшица \mathbf{L} равной якобиану на каждой итерации метода: $\mathbf{L} = \mathbf{J}(\mathbf{X})$.

В качестве $\bar{x}^k \in \mathbf{X}^k$ будем использовать $\text{mid}(\mathbf{X}^k)$.

В тоже время определим матрицу предобуславливания как

$$\Lambda(\mathbf{X}^k) = (J(\bar{x}^k))^{-1} \quad (11)$$

4.2.1 Спектральный радиус

Проверим условие сходимости метода

$$|I - \Lambda * J| \approx \begin{pmatrix} 0.0800 & 0.2720 \\ 0.1200 & 0.4080 \end{pmatrix} \quad (12)$$

$$\rho(|I - \Lambda * A|) \approx 0.4880 \quad (13)$$

4.2.2 Начальное приближение

В качестве начального приближения возьмём

$$\mathbf{x}^0 = ([5, 8], [5, 8])^T \quad (14)$$

4.2.3 Результаты работы метода

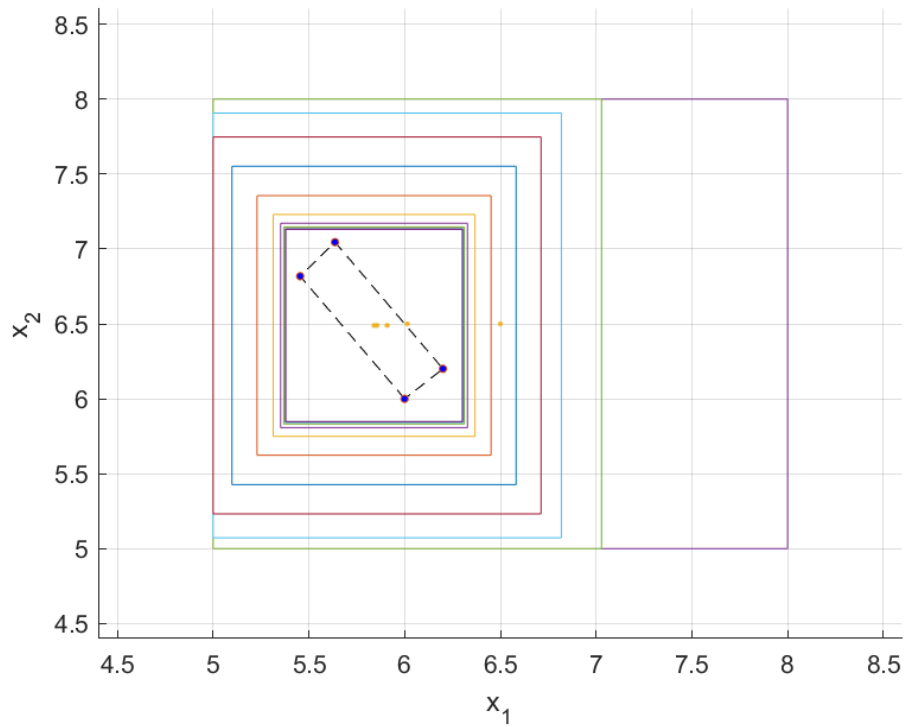


Рис. 5: Положения брусков в нелинейном методе Кравчика

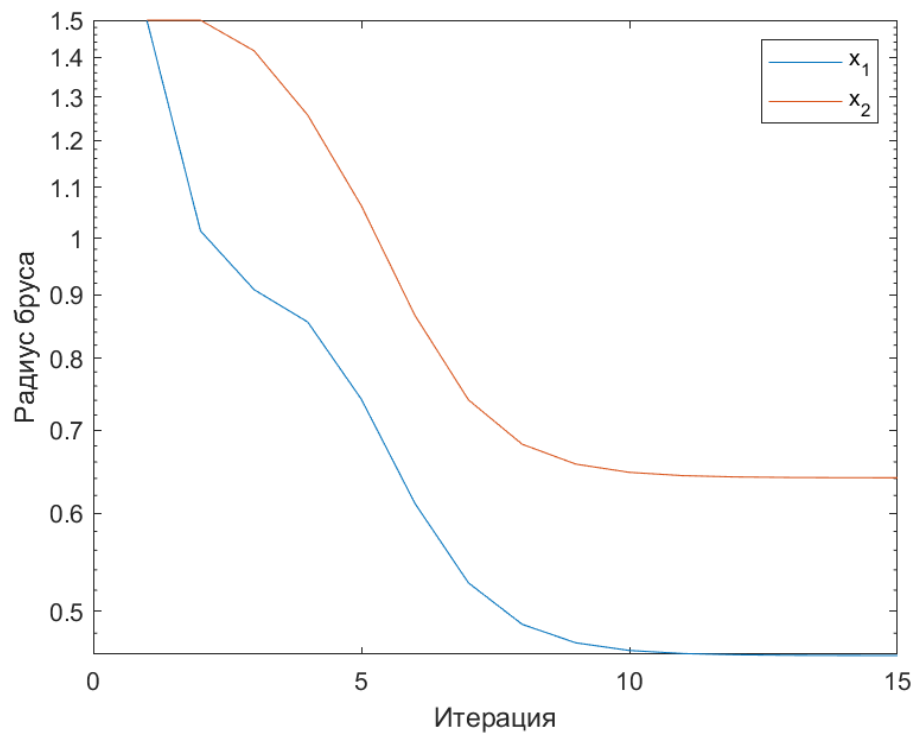


Рис. 6: Радиусы брусков в нелинейном методе Кравчика

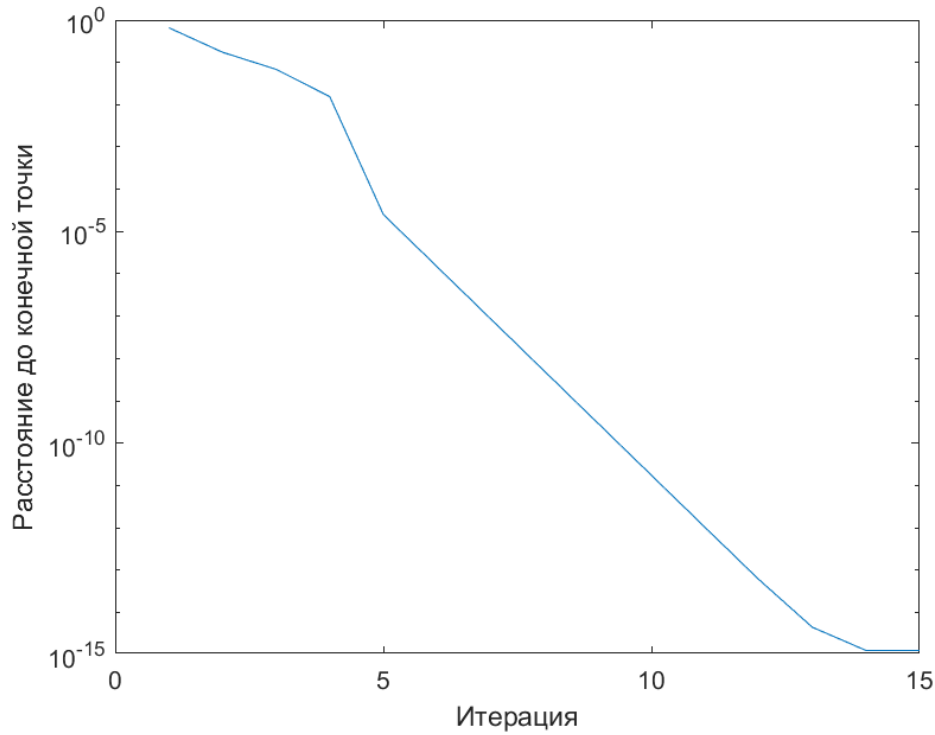


Рис. 7: Расстояние до конечного положения брусков в нелинейном методе Кравчика

5 Обсуждение

1. Метод Кравчика для линейной ИСЛАУ показал крайне быструю сходимость. Для достижения конечной точки ему потребовалось всего 2 итерации. Однако при этом достаточно точно достигается лишь верхняя часть интервальной оболочки Ξ_{uni} .
2. В случае нелинейной интерпретации метод Крачика демонстрирует куда более интересные результаты. Достижение конечной точки занимает порядка 15 итераций. Уточнее ведётся по всем граням одновременно. Финальный брус же отличается от интервальной оболочки Ξ_{uni} приблизительно на 0.07 по каждой из граней.
3. Сравнивая две интерпретации между собой можно сказать, что общая точность, с которой они приблизили Ξ_{uni} оказалась примерно одинаковой. При этом в достоинства линейного случая можно записать то, что точность достижения одной из граней была достаточно велика, а также что сложность самого метода и поиска начального приближения меньше, чем в нелинейном случае.